



## شیمی کانی کلینوپیروکسن در سنگ‌های گابرویی گنبد نمکی دره بید، چهارمحال و بختیاری، ایران

مریم آهنکوب<sup>۱</sup>، ناهید شبانیان بروجنی<sup>\*۲</sup>، علیرضا داودیان دهکردی<sup>۲</sup>، محمد علی مکی‌زاده<sup>۳</sup>

۱- دانشگاه پیام نور واحد شهرکرد

۲- دانشکده منابع طبیعی و علوم زمین، دانشگاه شهرکرد

۳- گروه زمین‌شناسی، دانشکده علوم، دانشگاه اصفهان

(دریافت مقاله: ۹۰/۱۱/۸، نسخه نهایی: ۸۹/۱۱/۸)

چکیده: سنگ‌های گابرویی مورد بررسی در اطراف گنبد نمکی دره بید در استان چهارمحال و بختیاری و در فاصله‌ی حدود ۱۳۰ کیلومتری جنوب شهرکرد رخنمون یافته‌اند. ناحیه‌ی مورد بررسی در پهنه‌ی ساختاری زاگرس قرار دارد. بررسی‌های شیمیایی کانی‌های کلینوپیروکسن توده‌ی نفوذی گابرویی همراه گنبد نمکی دره بید نشان می‌دهند که این کلینوپیروکسن‌ها دارای ترکیب دیپسید و اوژیت بوده و در گستره‌ی کلینوپیروکسن‌های با فشار پایین قرار می‌گیرند. ماقمایی که این کلینوپیروکسن‌ها از آن‌ها متبلور شده‌اند در حدود ۱۰ درصد آب داشته و فشار حاکم بر محیط تبلور کمتر از ۵ کیلوبار است و غنی از تیتانیم بوده و ماهیت مورب داشته است. میزان آهن فریک در کلینوپیروکسن‌ها نشان دهنده‌ی گرینزندگی بالای آکسیژن مагماست. ترکیب کلینوپیروکسن‌ها این گستره دمایی ۸۰۰-۶۵۰ درجه‌ی سانتی‌گراد را نشان می‌دهد.

واژه‌های کلیدی: کلینوپیروکسن؛ گابرو؛ گنبد نمکی؛ دره بید.

### مقدمه

منطقه‌ی مورد بررسی در استان چهارمحال و بختیاری و در فاصله‌ی حدود ۱۳۰ کیلومتری جنوب شهرکرد و در جنوب شرقی شهرستان اردل بین طول‌های جغرافیائی  $۴۳^{\circ}۵۰'۰۰''$  تا  $۴۹^{\circ}۳۰'۰۰''$  و عرض‌های جغرافیائی  $۴۰^{\circ}۴۱'۰۰''$  تا  $۴۹^{\circ}۳۱'۰۰''$  شمالی واقع است.

راه ارتباطی اصلی این ناحیه خاکی است که از جاده‌ی آسفالتی شهرکرد- ایذه پس از گذشتن از نوغان و پیش از رسیدن به دهکده‌ی دو پلان جدا می‌شود. این جاده پس از عبور از رودخانه‌ی کارون و روستای جوزستان و پوراز در نزدیکی دهکده‌ی برنجکان دوباره از رودخانه کارون گذر کرده و پس از ۴ کیلومتر وارد گستره‌ی مورد نظر می‌شود. این جاده

گستره‌ی مورد نظر را در راستای رودخانه‌ی کارون به روستاهای دورک شاهپوری، دره عشق، سرخون بالا و پائین، دره یاس، دره بید ارتباط می‌دهد (شکل ۱). با توجه به این که گنبدهای نمکی به خاطر دارا بودن ذخایر تبخیری، سنگ‌های ماقمایی و کانی‌های با ارزشی مانند ایلمنیت از دیرباز مورد توجه بوده‌اند، و نیز حضور تعداد زیادی از توده‌های نمکی و سنگ‌های تبخیری همراه آن به ویژه در زون زاگرس چین‌خورده و مرتفع، بررسی اصولی و سیستماتیک این گنبدهای نمکی ضروری به نظر می‌رسد [۱]. گنبد مورد نظر از واحدهای چینه‌شناسی و سنگ‌شناسی جزئی از پهنه‌ی ساختاری زاگرس است که با سری هرمز هم‌خوانی دارد. گنبد نمکی مورد بررسی با سنگ‌های آذرین بازی (بازالت

\* نویسنده مسئول، تلفن: ۰۹۱۳۳۱۸۰۲۴۲، پست الکترونیکی: nahid.shabani@gmail.com

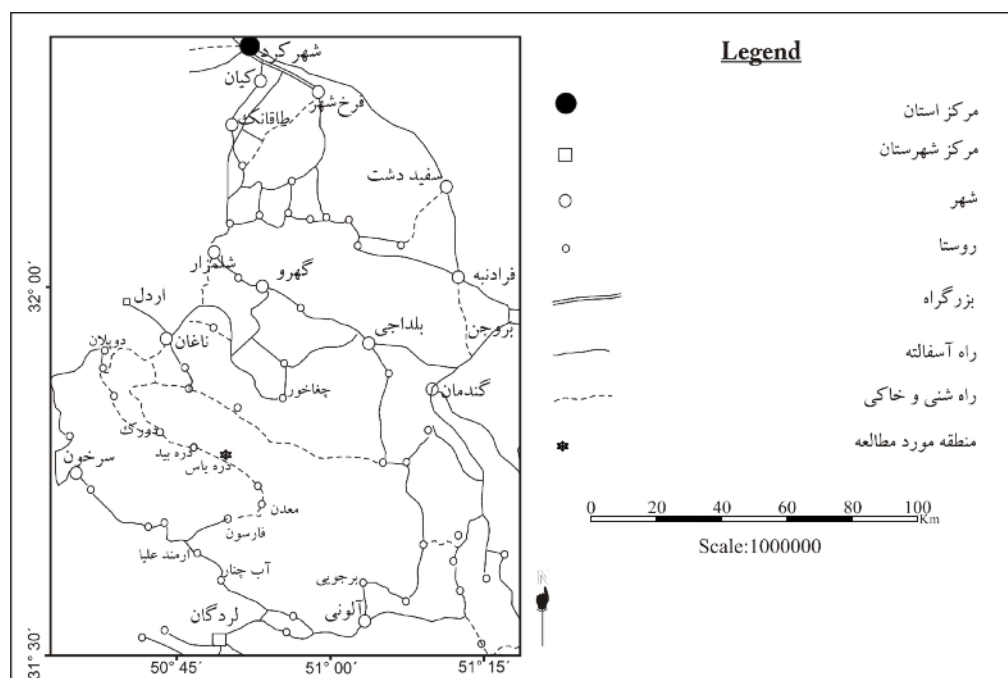
این گنبد نمکی از نظر سنگ‌شناسی از دو بخش رسوبی و آذرین تشکیل شده است. بخش آذرین این گنبد نمکی از یک ترکیب ماقمایی واحد ریشه می‌گیرد و به صورت دایک‌ها و توده‌های نامنظم و پراکنده در درون واحدهای رسوبی جای گرفته است. ماهیت ماقمایی قرابت تولئیتی تا تحولی دارد [۲] و سنگ‌های حاصل از این ترکیب واحد ماقمایی بیشتر ماهیت سنگ‌های بازی را دارند و عنوانیون سنگ‌شناسی آن‌ها دلیریت-دیباز، مونزو دیوریت، گابرو، تراکیت، الیوین بازالت، بازالت دیوریت، آندزی بازالت، مونزو سینیت و مونزو میکرو دیوریت و گابرو است، و مهم‌ترین وجه مشترک آن وجود کانی‌های تیتانیم‌دار و پشت سرگذاشتن دگرسانی شدید است. به طوری که ترکیب کانی‌شناسی توده‌های نفوذی بیانگر سه مرحله‌ی ماقمایی، تاخیری و کانی زایی است [۳]. ترکیب کانی‌شناسی دو مرحله‌ی آخر بیانگر شرایط رخساره‌ی شیست سبز و ترکیب کانی‌شناسی توده‌های خروجی شرایط رخساره‌ی پایین‌تر (پرهنیت-پومپله‌ایت) را در اثر دگرگونی کف دریا نشان می‌دهند [۲]. از طرف دیگر ظاهرًاً ماقمای تزریق شده در رسوب‌های این گنبد نمکی از تیتانیوم غنی است و این تراکم به صورت کانی‌سازی ایلمنیت بلور یافته و سپس از تأثیرگرفتن از فرآیندهای دگرسانی، ایلمنیت به صورت کانی‌های فرعی لوکوکسن - اسفن تغییر‌شکل یافته است.

و دلیریت) همراهی می‌شود. با توجه به این‌که تاکنون کار سنگ‌شناسی دقیقی روی این سنگ‌های ماقمیک انجام نشده در این مقاله با بررسی‌های دقیق شیمی کانی کلینوپیروکسن سعی می‌شود تا موقعیت زمین‌ساختی و شرایط بلور توده‌های ماقمیک همراه این گنبد شناسایی شود.

#### زمین‌شناسی عمومی

با توجه به موقعیت جغرافیایی و زمین‌شناسی استان چهارمحال و بختیاری، گنبدهای نمکی این منطقه را که تعداد آن‌ها به ۱۶ گنبد می‌رسد، می‌توان جزء گنبدهای نمکی زاگرس به حساب آورد و لذا از نظر سن، لیتوژوژی، دنباله‌ی چینه‌شناسی، پتانسیل‌های معدنی و... با گنبدهای نمکی دیگر جنوب و غرب ایران همخوانی دارند [۱].

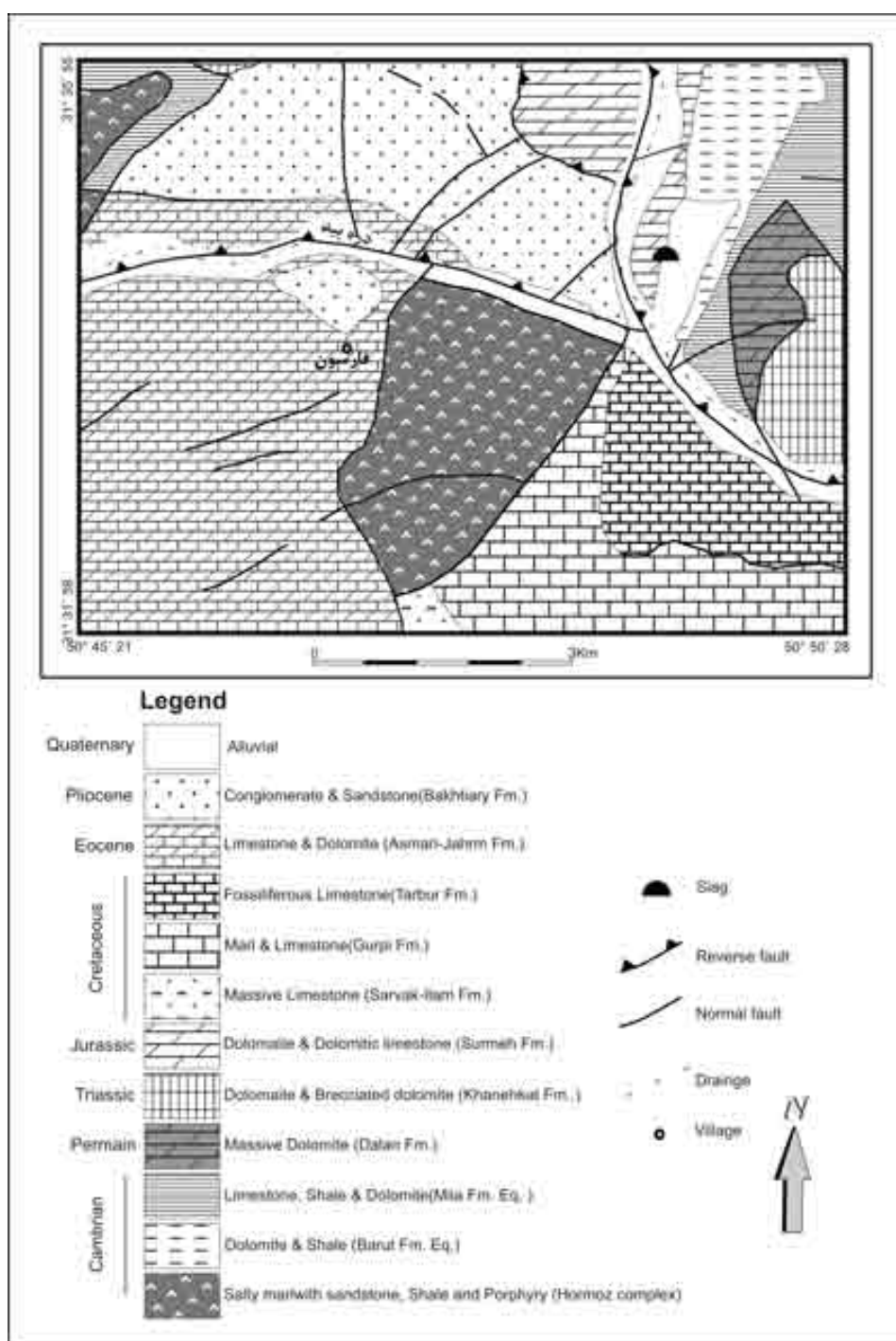
شانزده گنبد اخیر به علاوه پنج گنبد نمکی شرق و شمال یاسوج (استان کهکیلویه و بویراحمد) در تماس مستقیم با گسل‌های مهم منطقه از جمله گسل‌های اردل، زردکوه، دوپلان به حساب می‌آیند. این گسل‌ها به موازات گسل رورانده‌ی زاگرس است. غالب این گنبدها بیضوی شکل بوده که بزرگ‌ترین بعد آن‌ها به موازات گسل رورانده‌ی زاگرس است. بنابراین سازوکار به سطح رسیدن آن‌ها از یکسو گسله و از سوی دیگر چگالی پایین نمک نسبت به سنگ‌های همجوار است [۱].



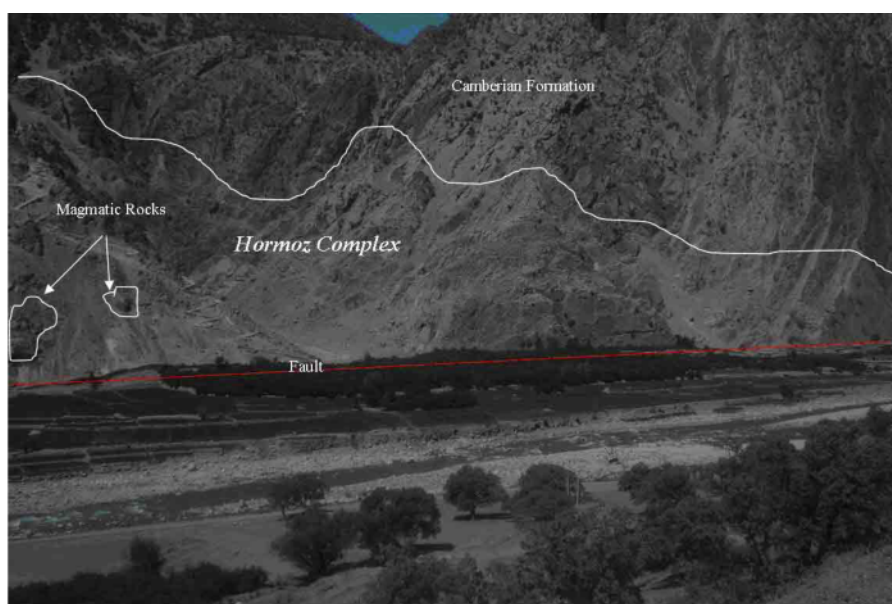
شکل ۱. راه‌های دسترسی به منطقه مورد بررسی.

واحد رسوی آثاری از رسوب‌های تبخیری به صورت پراکنده مشاهده می‌شود. رسوب‌های گچی به صورت زیپس در نوارهای خیلی کوچک و رسوب‌های نمکی بدون رخمنون و تنها در آب چشم‌ها ظاهر می‌یابد (شکل‌های ۲ و ۳).

بخش رسوی شامل تناوبی از شیل‌های سرخ و سبز و دولومیت‌ها و آهک‌های دولومیتی ضخیم لایه است. به دلیل وجود آثار تریلوبیتی در رسوب‌های کربناتی این دنباله‌ی رسوی، را می‌توان به پالئوزوئیک پائینی وابسته دانست. در این



شکل ۲ نقشه زمین‌شناسی ساده از منطقه‌ی مورد بررسی (دره بید).



شکل ۳ رخنمون مجموعه سازندهای تبخیری (گند نمکی) در امتداد گسل‌ها.

بخش آذربین این گند نمکی از نظر سنگ‌شناسی شامل بازالت‌های اولیوین‌دار، آندزیت‌ها و آندزی بازالت‌ها، دلریت‌ها - دیابازها، دیوریت‌ها تا میکرودیوریت‌ها، مونزونیت‌ها، اپی دیوریت‌ها، میکروگابروها و گابروهاست.

بازالت‌های اولیوین‌دار با بافت پورفیری تا گلومروپورفیریتیک و گاهی بادامی و کانی‌های اصلی اولیوین (فنوکریست)، پلازیوکلاز (میکرولیت)، کلینوپیروکسن (میکروفنوکریست) و کانی‌های تجزیه‌ای کلریت، کلسیت و اپیدوت مشخص می‌شوند.

آندرزی بازالت‌ها دارای بافت میکرولیتیک و جربانی هستند که کانی‌شناسی آن‌ها شامل کانی‌های اصلی پلازیوکلاز، اولیوین و کدر و کانی‌های تجزیه‌ای کلریت، اپیدوت، کلسیت و اسفن است.

آندرزیت‌ها با بافت ریز بلور پورفیریتیک حاوی فنوکریست و میکروفنوکریست پلازیوکلاز و کانی‌های تجزیه‌ای کلریت، اپیدوت و کلسیت‌اند.

تراکیت‌ها و لاتیت‌ها با بافت‌های بین دانه‌ایی دانه‌ای شامل کانی‌های پلازیوکلازهای کاملاً تجزیه شده و کدر در حال هماتیتی شدن و کلسیت درشت دانه‌ای دیده می‌شوند.

دلریت‌ها - دیابازها با بافت تقریباً بین دانه‌ایی دانه‌ای که به خاطر تجزیه‌ی زیاد بافت خیلی مشخص نیستند و کانی‌های اصلی پلازیوکلاز تجزیه شده و زونه با ماکل تکراری، بقایایی از

### روش بررسی

در این کار پژوهشی به منظور بررسی این گابروها از دیدگاه سنگ‌شناسی، نخست از آن‌ها نمونه‌برداری کامل شد و سپس به منظور بررسی ترکیب کانی‌ها پس از تهیه مقاطع نازک از نمونه‌های با کمترین دگرسانی و بررسی‌های میکروسکوپی تعدادی از نمونه‌های مناسب انتخاب و پس از تهیه مقاطع نازک صیقلی با استفاده از یک ریزکاونده‌ی الکترونی آنالیز نقطه‌ای شدند. آنالیزهای ریزکاونده‌ی الکترونی در گروه زمین‌شناسی Cameca SX50 در شرایط ۲۰ کیلو ولت، جریان ۲۰ نانو آمپر و بازه‌ی زمانی ۱۰ ثانیه با انتخاب نقاط ۲ میکرومتری شمارش شدند. آنالیز کانی‌ها با نرم‌افزار کامپیوترا PET [۴] و محاسبه‌ی مقادیر  $\text{Fe}^{+3}$  بر مبنای ملاحظات عضوسنجی ارایه شده توسط [۵] انجام گرفت.

### سنگ‌نگاری سنگ‌های گابرویی

همراه با گند نمکی دره بید تعداد زیادی سنگ آذربین درونی و بیرونی با ظاهر کاملاً متفاوت دیده می‌شوند که طی بازدید صحرائی برداشت شدند و سپس از نمونه‌های مناسب ۶۰ مقطع نازک تهیه و از نظر سنگ‌نگاری مورد بررسی قرار گرفتند. نتایج حاصل از سنگ‌نگاری این مقاطع نشان می‌دهند که کانی‌های موجود در این سنگ‌ها متنوع بوده و گاهی از نظر سنگ‌شناسی مهم به شمار می‌آیند.

متوسط دانه‌های که گاه تجزیه و اورالیتی شده و گاه به بیوتیت و در نهایت به کلریت تبدیل شده و گاهی به طور کامل اپیدوتی شده‌اند. بیوتیت‌ها در حال تبدیل به کلریت‌اند، و در برخی از بخش‌ها خمیدگی در بلور بیوتیت دیده می‌شود. گاهی در اطراف بیوتیت‌ها اپیدوت حضور دارد. آثار تجزیه به کلسیت و اپیدوت در تمامی بلورها محسوس است

در این میان نمونه‌های گابرویی که موضوع مورد بررسی در این مقاله‌اند، با بافت دانه‌ای و بین دانه‌ای دیده می‌شوند، و کانی‌شناسی نسبتاً ساده‌ای دارند و از کانی‌های پلازیوکلاز، پیروکسن، هورنبلند و کانی‌های تاخیری بیوتیت، کلریت، کلسیت و اسفن تشکیل شده‌اند (شکل ۴).

#### پلازیوکلاز

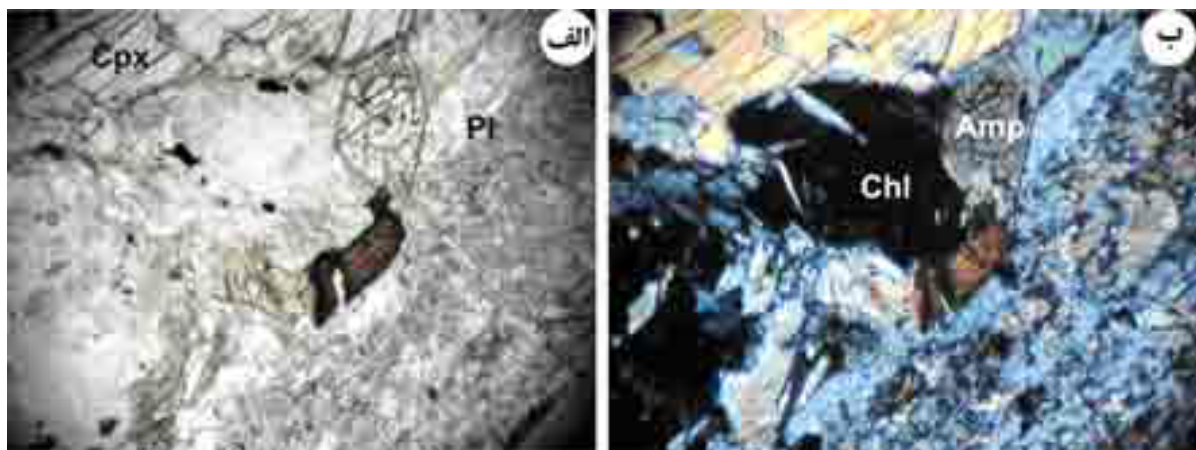
این کانی از نظر اندازه به صورت دانه‌های بلوری متوسط تا درشت بوده و به صورت بی‌شکل تا نیمه‌شکل دار دیده می‌شود و تشکیل تیغه‌های (لاته‌ای) پلازیوکلاز با ماکل تکراری (پلی‌سینتیک) را می‌دهد و در اثر تجزیه سوسوریتی در حال تبدیل به کلسیت با اندکی کلریت و اپیدوت هستند. از نظر ترکیبی پلازیوکلازها در گستره‌ی آندزین تا آلبیت قرار می‌گیرند. چون پلازیوکلازهای بازی سوسوریتی شده‌اند، بنابراین بخش کمتری از آن سوسوریتی شده در گستره‌ی آندزین قرار می‌گیرند و بخش شدیداً سوسوریتی شده ترکیب آلبیت را تشکیل می‌دهند (شکل ۵).

پیروکسن با حواشی اورالیتی شده و آمفیبول و کانی‌های تجزیه‌ای کلریت و اورالیت مشخص می‌شوند دیوریت‌ها- میکرودیوریت‌ها : با بافت دانه‌ای تا بین دانه‌ای بسیار درشت تا ریز متغیرند و دارای کانی‌های پلازیوکلاز با ماکل پلی‌سینتیک سوسوریتی و کلسیتی شده، پیروکسن‌های نیمه‌شکل دار تا بی‌شکل در حال اورالیتی شدن، آمفیبول‌های نیمه‌شکل دار تا بی‌شکل که دستخوش خردشگی و تجزیه به کلریت و اسفن شده‌اند، بیوتیت که در حال تبدیل به کلریت است، تورمالین شکل دار و قهقهه‌ای تا سیز دارای منطقه‌بندی، اسفن شکل دار اولیه و زیرکن را تشکیل می‌دهند.

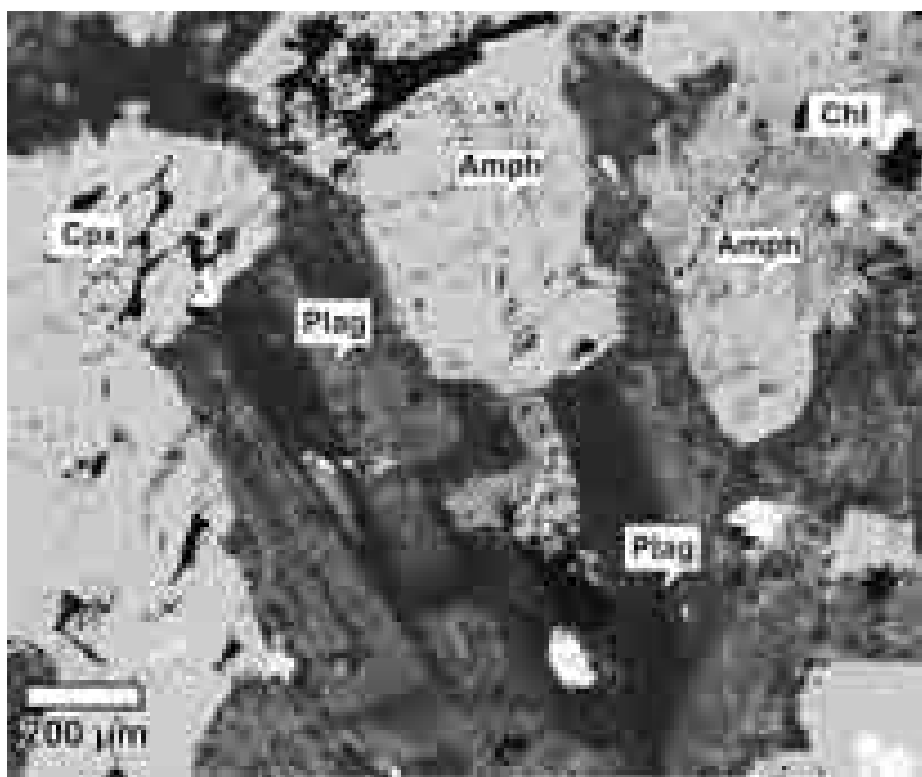
مونزونیت‌ها دارای بافت غالب دانه‌ای تا بین دانه‌ای هستند که حاوی کانی‌های پلازیوکلاز شکل دار تا نیمه‌شکل دار با ماکل آلبیتی (گاهی سوسوریتی شده) اند. علاوه بر این پلازیوکلازها، با منطقه‌بندی و بافت پرتریتی نیز دیده می‌شوند و بسیاری از نمونه‌ها کدرند.

ایدیوریت‌ها با بافت بین دانه‌ای و ریزدانه‌ای که آثار تجزیه‌ی زیادی را نشان می‌دهند و زمینه حالت کلریتی و کلسیتی پیدا کرده در حالی که کلریت بیشتر از کلسیت است. کانی‌های پلازیوکلازی تجزیه شده، کانی کدر اسکلتی، آمفیبول تجزیه شده در آن‌ها دیده می‌شوند.

میکروگابروها دارای بافت دانه‌ای هم بعد تا بین دانه‌ای بوده و حاوی پلازیوکلازهای درشت بلور با ماکل پلی‌سینتیک هستند. پیروکسن‌های نیمه‌شکل دار تا کمی شکل دار - از نظر اندازه



شکل ۴ مقطع میکروسکوپی از کانی‌های تشکیل‌دهنده‌ی سنگ. پلازیوکلاز (Pl) دارای آثار تجزیه‌ی سوسوریتی و آمفیبول‌های (Amp) به صورت شکل دار و نیمه‌شکل دار با تجزیه کلریتی شدن (Chl) و کلینوپیروکسن‌ها (Cpx) در بالای مقطع نازک. پهنای میدان دید ۸/۰ میلی‌متر الف: نور XPL ، ب: نور قطبیده متقاطع عادی



شکل ۵ تصویر ریزپردازی الکترونی از کانی‌های تشکیل‌دهنده سنگ مورد بررسی. بخش‌های روشن پلاژیوکلاز ترکیب آلبیتی و بخش تیره ترکیب غنی‌تر از آنورتیت (آندرین) نشان می‌دهند.

### پیروکسن

این کانی نیمه‌شكل‌دار تا بی‌شكل بوده و گاهی با پلاژیوکلاز‌های بافت افیتیک تا ساب‌افیتیک دیده می‌شود.

### هورنبلند

این کانی از لحاظ اندازه میان بلوری بوده و بی‌شكل تا نیمه‌شكل دارد. مقاطع عرضی آن دو دسته رخ ۱۲۴ و ۵۶ را نشان می‌دهند و مقاطع طولی یک دسته رخ دارند و چند رنگی قهقهه‌ای (ماگمایی) و سبز (تا خیری) نشان می‌دهند. تجزیه به کلریت (بلورهای شعاعی) و کانی کدر دیده می‌شوند. از نظر ترکیب شیمیایی، از ادنیت، منیزیوھستینگزیت، منیزیوھورنبلند و اکتینوت تشکیل شده‌اند.

### کانی کدر

این کانی به صورت میان بلور تا ریز بلور دیده می‌شود و بی‌شكل تا نیمه‌شكل‌دار است. با توجه به این که غالباً با اسفن تجزیه شده (که از لحاظ اندازه ریز بلور و بی‌شكل است) احاطه شده است، ایلمنیت خوانده می‌شود. ایلمنیت به کانی‌های تجزیه شده اسفن-لوکوکسن تغییر‌شکل یافته است.

### شیمی کانی پیروکسن

کوشش‌های زیادی در شناخت رابطه‌ی بین ترکیب شیمیایی کلینوپیروکسن‌های آذرین با ماهیت سنگ‌های میزبان آن‌ها صورت گرفته است [۶]. کوشیرو و لوباس [۷،۸] نشان دادند که محتوای Ti و Al کلینوپیروکسن‌ها از یک طرف به فعالیت سیلیس که از آن متبلور شده‌اند، وابسته بوده و از طرف دیگر به نسبت این عناصر که به ترتیب در انواع ماقماهای توله‌ایتی، آلکالن و پرآلکالن افزایش می‌یابد، بستگی دارد.

نتایج ریزکاوش الکترونی از کلینوپیروکسن‌های توده‌ی نفوذی مورد بررسی در جدول ۱ ارایه شده‌اند. در نمودار J-Q-Nمونه‌های مورد بررسی در گستره‌ی پیروکسن‌های کلسیم-آهن-منیزیم‌دار (Quad) قرار می‌گیرند (شکل ۶). کلیه پیروکسن‌های مورد بررسی در میدان اوژیت و دیوپسید [۹] تصویر می‌شوند (شکل ۷). چنان‌که در جدول ۱ مشاهده می‌شود ترکیب اعضای انتهایی کلینوپیروکسن‌ها از این توده En40.95-44.13 Wo43.97-45.69 Fs10.92-14.25 برابر با است.

جدول ۱ نتایج آنالیز نقطه‌ای کلینوپیروکسن و محاسبه‌ی فرمول ساختاری آن.

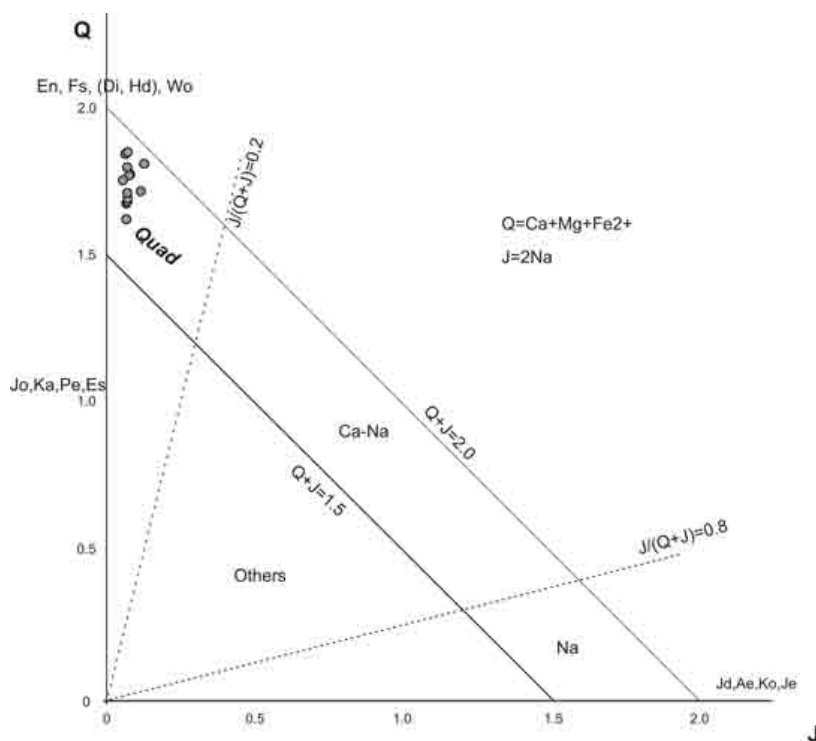
Label	D1-Cpx1-1	D1-Cpx1-2	D1-Cpx1-5	D1-Cpx1-6	D2-Cpx-1	D2-Cpx-2	D2-Cpx-3
SiO <sub>2</sub>	۵۰,۹۸	۵۰,۴۶	۵۰,۶۱	۵۰,۸۱	۵۱,۱۴	۵۱,۴۱	۵۰,۸۵
TiO <sub>2</sub>	۰,۹۴	۱,۱۳	۱,۰۷	۱,۰۵	۰,۸۵	۰,۸۲	۱,۲۶
Al <sub>2</sub> O <sub>3</sub>	۳,۶۴	۴,۱۳	۳,۵۲	۳,۶۷	۲,۸۷	۲,۸۸	۳,۵۷
Cr <sub>2</sub> O <sub>3</sub>	۰,۵۷	۰,۴۷	۰,۳۲	۰,۳۴	۰,۵۴	۰,۴۷	۰,۱۲
FeO	۷,۰۸	۷,۵۳	۷,۴۸	۷,۴۲	۷,۲۰	۷,۱۹	۷,۸۹
MnO	۰,۱۴	۰,۱۲	۰,۱۴	۰,۱۴	۰,۱۷	۰,۱۶	۰,۱۶
MgO	۱۴,۶۵	۱۴,۴۳	۱۴,۴۱	۱۴,۴۳	۱۵,۲۷	۱۵,۱۰	۱۴,۱۱
CaO	۲۱,۵۵	۲۱,۴۸	۲۱,۴۸	۲۱,۵۰	۲۱,۱۹	۲۱,۴۰	۲۱,۴۲
Na <sub>2</sub> O	۰,۳۹	۰,۴۳	۰,۴۳	۰,۴۲	۰,۳۳	۰,۴۱	۰,۴۷
K <sub>2</sub> O	۰,۰۰	۰,۰۰	۰,۰۰	۰,۰۰	۰,۰۰	۰,۰۱	۰,۰۰
P <sub>2</sub> O <sub>5</sub>	۰,۹۳	۰,۰۰	۰,۱۸	۰,۰۰	۰,۲۵	۰,۰۵	۰,۰۱
NiO	۰,۰۴	۰,۰۲	۰,۰۳	۰,۰۲	۰,۰۲	۰,۰۱	۰,۰۴
F	۰,۰۰	۰,۳۲	۰,۰۹	۰,۳۹	۰,۲۶	۰,۸۰	۰,۱۵
Total	۱۰۰,۹۱	۱۰۰,۳۹	۹۹,۷۷۲	۱۰۰,۰۳	۹۹,۹۸	۱۰۰,۳۷	۹۹,۹۹

محاسبات بر مبنای ۶ اتم اکسیژن می‌باشد

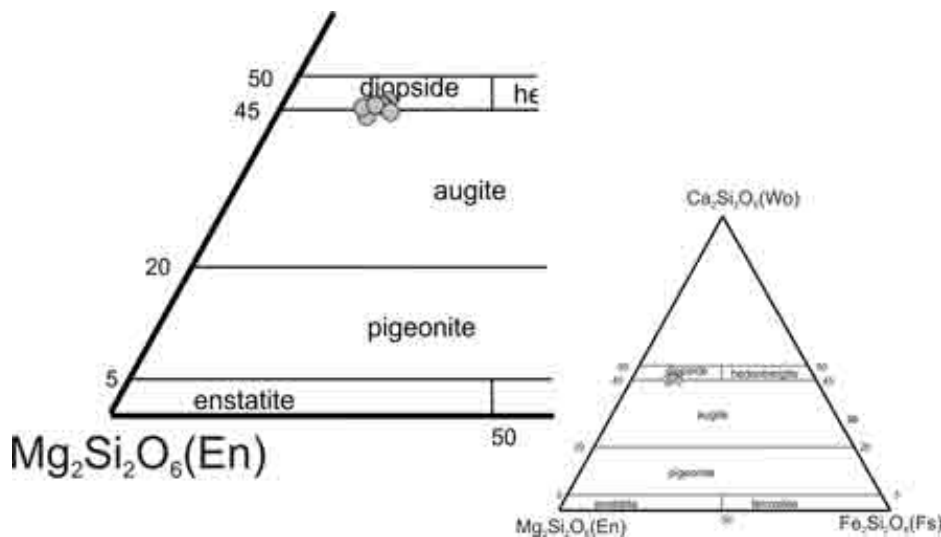
Si	۱,۸۶۷	۱,۸۴۶	۱,۸۷۵	۱,۸۶۰	۱,۸۸۰	۱,۸۶۰	۱,۸۸۰
Ti	۰,۰۲۶	۰,۰۳۱	۰,۰۳۰	۰,۰۳۰	۰,۰۲۰	۰,۰۲۰	۰,۰۴۰
Al	۰,۱۵۷	۰,۱۷۸	۰,۱۵۴	۰,۱۶۰	۰,۱۲۰	۰,۱۲۰	۰,۱۶۰
Cr	۰,۰۱۷	۰,۰۱۴	۰,۰۰۹	۰,۰۱۰	۰,۰۲۰	۰,۰۱۰	۰,۰۰۰
Fe <sup>3+</sup>	۰,۰۰۰	۰,۱۵۹	۰,۰۶۳	۰,۱۷۰	۰,۱۲۰	۰,۲۲۰	۰,۰۸۰
Fe <sup>2+</sup>	۰,۲۱۷	۰,۰۷۲	۰,۱۶۹	۰,۰۶۰	۰,۱۰۰	۰,۰۰۰	۰,۱۶۰
Mn	۰,۰۰۴	۰,۰۰۴	۰,۰۰۴	۰,۰۰۰	۰,۰۱۰	۰,۰۱۰	۰,۰۱۰
Mg	۰,۸۰۰	۰,۷۸۷	۰,۷۹۶	۰,۷۹۰	۰,۸۴۰	۰,۸۱۰	۰,۷۸۰
Ca	۰,۸۴۶	۰,۸۴۲	۰,۸۵۳	۰,۸۴۰	۰,۸۳۰	۰,۸۳۰	۰,۸۵۰
Na	۰,۰۲۸	۰,۰۳۱	۰,۰۳۱	۰,۰۳۰	۰,۰۲۰	۰,۰۳۰	۰,۰۳۰
K	۰,۰۰۰	۰,۰۰۰	۰,۰۰۰	۰,۰۰۰	۰,۰۰۰	۰,۰۰۰	۰,۰۰۰
P	۰,۰۲۹	۰,۰۰۰	۰,۰۰۶	۰,۰۰۰	۰,۰۱۰	۰,۰۰۰	۰,۰۰۰
Ni	۰,۰۰۱	۰,۰۰۱	۰,۰۰۱	۰,۰۰۰	۰,۰۰۰	۰,۰۰۰	۰,۰۰۰
F	۰,۰۰۰	۰,۰۳۷	۰,۰۱۱	۰,۰۵۰	۰,۰۳۰	۰,۰۹۰	۰,۰۲۰
Sum	۲,۹۹۲	۴,۰۰۲	۴,۰۰۲	۳,۹۹۹	۳,۹۹۹	۳,۹۹۹	۴,۰۰۰
Name	دیوپسید	دیوپسید	دیوپسید	دیوپسید	اورزیت	اورزیت	دیوپسید
Al(IV)	۰,۱۲۳	۰,۱۵۴	۰,۱۲۵	۰,۱۳۸	۰,۱۲۲	۰,۱۲۳	۰,۱۲۱
Al(VI)	۰,۰۲۴	۰,۰۲۴	۰,۰۲۸	۰,۰۲۱	۰,۰۰۲	۰,۰۰۰	۰,۰۳۵
Mg/(Fe <sup>2+</sup> +Mg)	۰,۷۸۷	۰,۹۱۶	۰,۸۲۵	۰,۹۳۱	۰,۸۸۹	۱,۰۰۰	۰,۸۲۷
Q	۱,۸۶۲	۱,۷۰۱	۱,۸۱۷	۱,۶۹۱	۱,۷۷۴	۱,۶۴	۱,۷۸۹
J	۰,۰۵۵	۰,۰۶۱	۰,۰۶۲	۰,۰۶۰	۰,۰۴۷	۰,۰۵۷	۰,۰۶۷
Q+J	۱,۹۱۸	۱,۷۶۲	۱,۸۷۹	۱,۷۵۱	۱,۸۲۱	۱,۶۹۸	۱,۸۵۶
J(J+Q)	۰,۰۲۹	۰,۰۳۵	۰,۰۳۳	۰,۰۳۴	۰,۰۲۶	۰,۰۳۴	۰,۰۳۶
MolWo	۴۵,۳۰	۴۵,۱۹	۴۵,۲۴	۴۵,۲۸	۴۲,۹۷	۴۴,۹۵	۴۵,۲۵
MolEn	۴۲,۸۵	۴۲,۲۴	۴۲,۲۳	۴۲,۲۹	۴۴,۹	۴۴,۱۳	۴۱,۴۷
MolFs	۱۱,۸۵	۱۲,۵۷	۱۲,۵۳	۱۲,۴۳	۱۱,۹۴	۱۰,۹۲	۱۲,۲۸
group	quad-Px						

## ادامه جدول ۱

Label	D2-Cpx-4	D3-Cpx-1	D3-Cpx-2	D3-Cpx-3	D3-Cpx-4	D3-Cpx-5
SiO <sub>2</sub>	۵۰,۶۸	۵۲,۳۵	۵۰,۴۸	۵۰,۳۶	۵۰,۰۶	۵۲,۱۱
TiO <sub>2</sub>	۱,۲۳	۰,۸۸	۱,۱۷	۱,۱۹	۱,۰۶	۰,۸۲
Al <sub>2</sub> O <sub>3</sub>	۳,۰۱	۱,۹۷	۳,۰۶	۳,۸۶	۳,۷۸	۱,۶۶
Cr <sub>2</sub> O <sub>3</sub>	۰,۰۴	۰,۲۶	۰,۰۲	۰,۳۴	۰,۵۶	۰,۳۶
FeO	۷,۹۱	۷,۹۳	۷,۹۴	۷,۶۹	۷,۲۷	۸,۳۷
MnO	۰,۱۷	۰,۲۰	۰,۱۵	۰,۱۵	۰,۱۶	۰,۲۰
MgO	۱۴,۲۴	۱۲,۹۸	۱۴,۳۴	۱۴,۲۹	۱۴,۴۸	۱۳,۹۴
CaO	۲۱,۵۵	۲۱,۷۰	۲۱,۶۱	۲۱,۳۶	۲۱,۴۹	۲۰,۸۷
Na <sub>2</sub> O	۰,۴۹	۰,۷۶	۰,۴۴	۰,۴۳	۰,۴۴	۰,۸۲
K <sub>2</sub> O	۰,۰۰	۰,۰۱	۰,۰۱	۰,۰۱	۰,۰۰	۰,۰۰
P <sub>2</sub> O <sub>5</sub>	۰,۲۰	۰,۰۹	۰,۴۵	۰,۰۴	۰,۰۵	۰,۱۳
NiO	۰,۰۰	۰,۰۳	۰,۰۰	۰,۰۲	۰,۰۲	۰,۰۲
F	۰,۱۶	۰,۲۹	۰,۰۰	۰,۲۷	۰,۲۹	۰,۰۶
Total	۹۹,۶۱	۱۰۰,۳۳	۹۹,۶۷	۹۹,۹۰	۹۹,۵۴	۹۹,۳۴
محاسبات بر مبنای ۶ اتم اکسیژن می‌باشد						
Si	۱,۸۷۹	۱,۹۲۲	۱,۸۷۸	۱,۸۵۵	۱,۸۴۷	۱,۹۴۵
Ti	۰,۰۳۴	۰,۱۲۴	۰,۰۳۳	۰,۰۳۳	۰,۰۲۹	۰,۰۲۳
Al	۰,۱۳۲	۰,۰۸۵	۰,۱۲۴	۰,۱۶۸	۰,۱۶۴	۰,۰۷۳
Cr	۰,۰۰۱	۰,۰۰۸	۰,۰۰۱	۰,۰۱۰	۰,۰۱۶	۰,۰۱۱
Fe <sup>3+</sup>	۰,۰۹۵	۰,۱۲۸	۰,۰۳۴	۰,۱۳۶	۰,۱۶۱	۰,۰۴۲
Fe <sup>2+</sup>	۰,۱۵۱	۰,۱۱۶	۰,۲۱۳	۰,۱۰۱	۰,۰۶۳	۰,۲۱۹
Mn	۰,۰۰۵	۰,۰۰۶	۰,۰۰۵	۰,۰۰۵	۰,۰۰۵	۰,۰۰۶
Mg	۰,۷۸۷	۰,۷۶۵	۰,۷۹۵	۰,۷۸۵	۰,۷۹۶	۰,۷۷۶
Ca	۰,۸۵۶	۰,۸۵۴	۰,۸۶۱	۰,۸۴۳	۰,۸۵۰	۰,۸۳۴
Na	۰,۰۳۵	۰,۰۵۴	۰,۰۳۲	۰,۰۳۱	۰,۰۳۱	۰,۰۵۹
K	۰,۰۰۰	۰,۰۰۰	۰,۰۰۰	۰,۰۰۰	۰,۰۰۰	۰,۰۰۰
P	۰,۰۰۶	۰,۰۰۳	۰,۰۱۴	۰,۰۰۱	۰,۰۰۲	۰,۰۰۴
Ni	۰,۰۰۰	۰,۰۰۱	۰,۰۰۰	۰,۰۰۱	۰,۰۰۱	۰,۰۰۱
F	۰,۰۱۹	۰,۰۲۴	۰,۰۰۰	۰,۰۳۱	۰,۰۲۴	۰,۰۰۷
Sum	۴,۰۰۰	۴,۰۰۰	۴,۰۰۰	۴,۰۰۰	۳,۹۹۹	۴,۰۰۰
Name	دیوپسید	دیوپسید	دیوپسید	دیوپسید	دیوپسید	دیوپسید
Al(IV)	۰,۱۲۱	۰,۰۷۸	۰,۱۲۲	۰,۱۴۵	۰,۱۵۳	۰,۰۵۵
Al(VI)	۰,۰۱۱	۰,۰۰۷	۰,۰۱۲	۰,۰۲۳	۰,۰۱۱	۰,۰۱۸
Mg/(Fe <sup>2+</sup> +Mg)	۰,۸۳۹	۰,۸۶۸	۰,۷۸۹	۰,۸۸۶	۰,۹۲۷	۰,۷۸۰
Q	۱,۷۹۴	۱,۷۳۵	۱,۸۷۰	۱,۷۲۹	۱,۷۱۰	۱,۸۲۹
J	۰,۰۷۰	۰,۱۰۸	۰,۰۶۳	۰,۰۶۱	۰,۰۶۳	۰,۱۱۹
Q+J	۱,۸۶۴	۱,۸۴۳	۱,۹۳۳	۱,۷۹۰	۱,۷۷۲	۱,۹۴۸
J/(J+Q)	۰,۰۳۸	۰,۰۵۹	۰,۰۳۳	۰,۰۳۴	۰,۰۳۶	۰,۰۶۱
MolWo	۴۵,۲۰	۴۵,۶۸	۴۵,۱۳	۴۵,۱۰	۴۵,۳۰	۴۴,۴۴
MolEn	۴۱,۵۶	۴۰,۹۵	۴۱,۶۷	۴۱,۹۸	۴۲,۴۷	۴۱,۳۱
MolFs	۱۳,۲۳	۱۲,۳۶	۱۳,۱۹	۱۲,۹۲	۱۲,۲۳	۱۴,۲۵
group	quad-Px	quad-Px	quad-Px	quad-Px	quad-Px	quad-Px



شکل ۶ کلینوپیروکسن‌های مورد بررسی در گسترهٔ کلینوپیروکسن‌های کلسیم-منیزیم-آهن‌دار قرار می‌گیرند [۹].



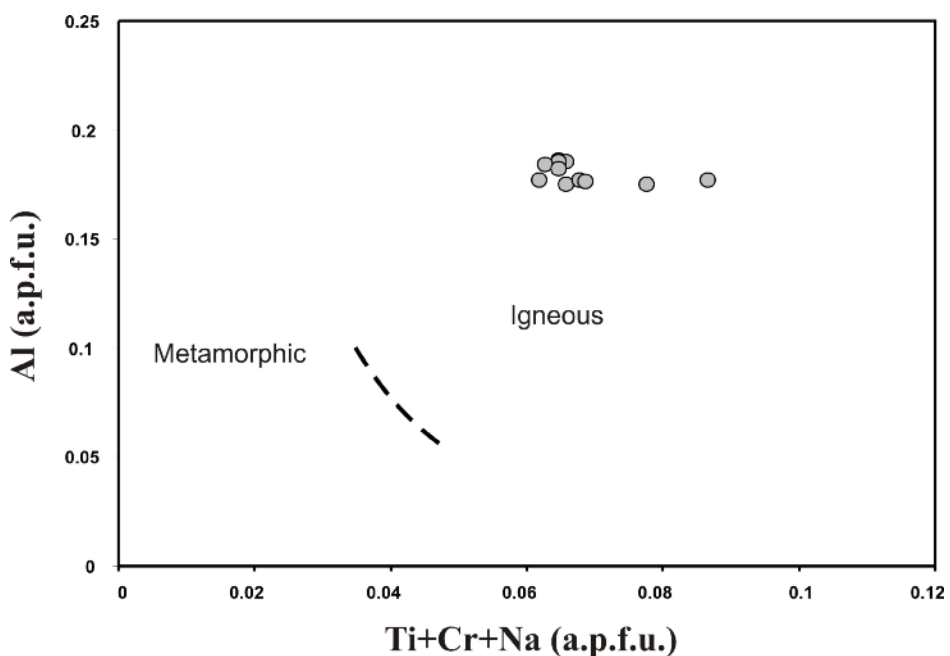
شکل ۷ در نمودار سه‌تایی En-Wo-Fs، کلینوپیروکسن‌های مورد بررسی در گسترهٔ دیوپسید و اوژیت قرار می‌گیرند [۹].

براساس نمودار تغییرات  $\text{Al}^{IV}$  از  $\text{Ti} + \text{Na} + \text{Cr}$  در برابر  $\text{Al}$  تمامی کلینوپیروکسن‌ها ماهیت آذرین دارند (شکل ۸). در نمودار توزیع  $\text{Al}$  و  $\text{Si}$  در پیروکسن‌های گابروهای مورد بررسی، در بالای خط اشباع جایگاه چهاروجهی قرار می‌گیرند (شکل ۹). بنابراین موقعیت این کلینوپیروکسن‌های چهاروجهی به طور کامل با  $\text{Si}$  و به طور بخشی با  $\text{Al}(\text{Al}^{IV})$  پر می‌شود و

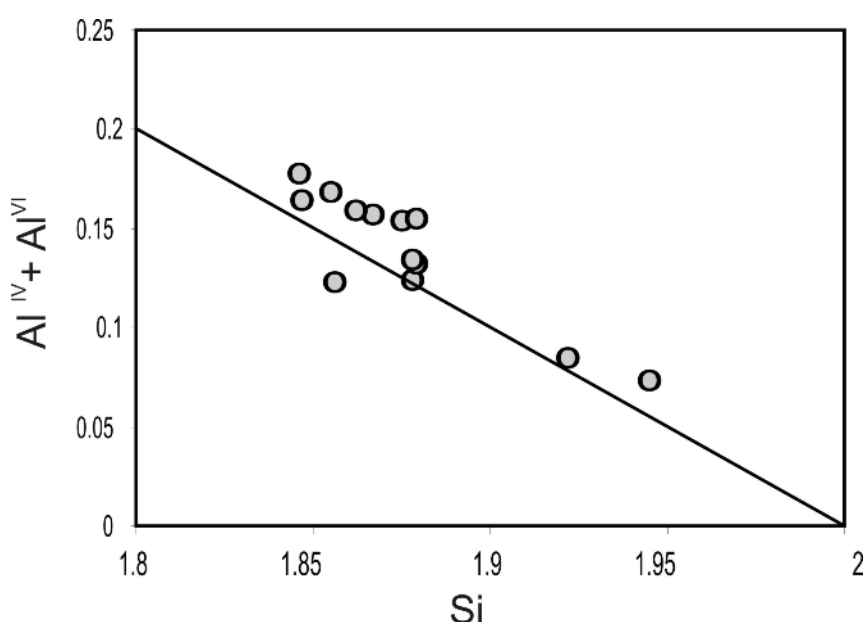
میزان تغییرات  $\text{Al}_2\text{O}_3$  از ۱/۶۶ تا ۴/۱۳ درصد وزنی بوده و تغییرات  $\text{CaO}$  نیز بسیار کم است و از ۲۱/۷۰ تا ۲۰/۸۷ درصد وزنی است. مقدار  $\text{Mg}^{\#}$  نیز به طور متوسط در حدود ۰/۸۸ است. میزان  $\text{Al}^{IV}$  از ۰/۰۵۵ تا ۰/۱۵۴ اتم در واحد فرمول است. میزان  $\text{Al}^{VI}$  نیز از ۰/۰۳۴ تا ۰/۰۰۲ a.p.f.u متغیر است.

است [۱۲، ۱۱]. قرارگیری نمونه‌ها در بالای خط  $0 = \text{Fe}^{3+}$  موید بالا بودن گریزندگی اکسیژن است (شکل ۱۰) و با توجه به فاصله‌ی نمونه‌ها با خط  $0 = \text{Fe}^{3+}$  گریزندگی محیط بلور نسبتاً بالاست [۱۳]. با توجه به نمودار تغییرات  $\text{Ti} - \text{Al}^{\text{IV}}$  -  $\text{Al}^{\text{VI}}$  نسبت میزان پایین تیتانیم در کلینوپیروکسن‌ها بیانگر وجود کانی‌های تیتانیم‌دار (اسفن و ایلمنیت) در سنگ است (شکل ۱۱).

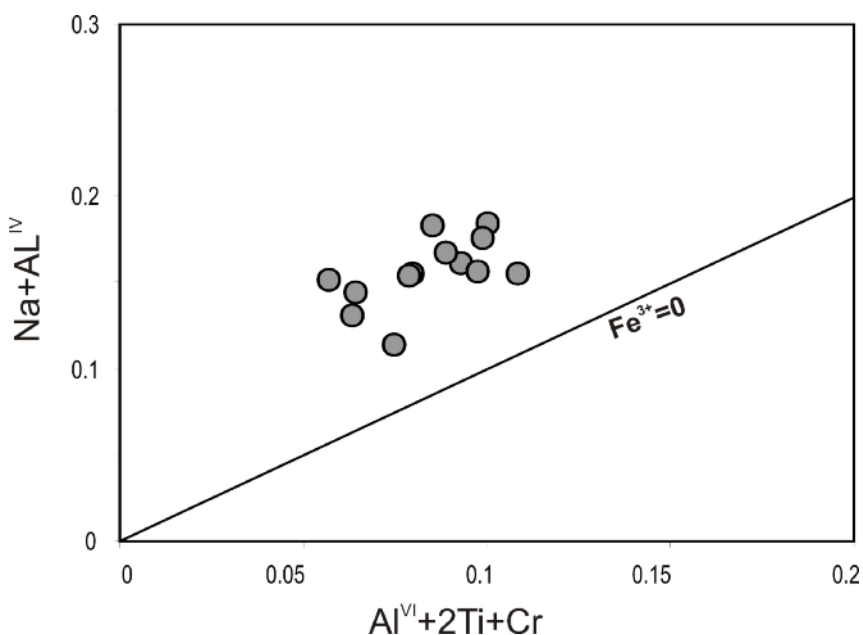
نمی‌تواند با کاتیون‌های سه ظرفیتی مثل  $\text{Cr}^{+3}$ ,  $\text{Ti}$  و  $\text{Al}$  اشغال شود. اضافی همراه با عنصر سه ظرفیتی نیز وارد ساختار هشت وجهی می‌شوند. بنابراین میزان  $\text{Mg}^{2+}$  در کلینوپیروکسن‌ها تابعی از گریزندگی اکسیژن و میزان  $\text{Al}$  در موقعیت چهاروجهی و هشت وجهی است، نمودار موقعیت چهاروجهی و هشت وجهی این مطلب  $\text{Na} + \text{Al}^{\text{IV}} + 2\text{Ti} + \text{Cr}^{\text{VI}}$  نسبت به



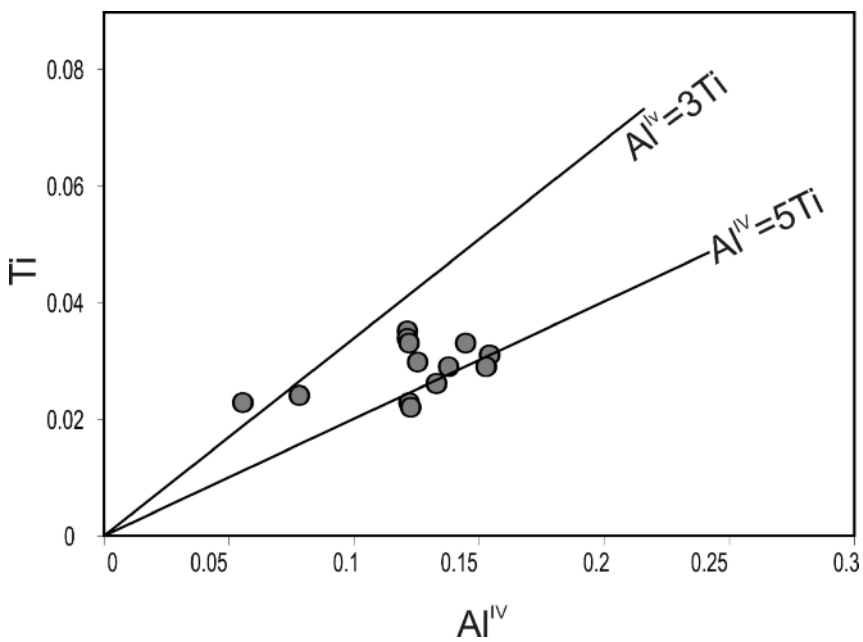
شکل ۸ تمامی کلینوپیروکسن‌ها در نمودار تغییرات  $\text{Cr} + \text{Na} + \text{Ti}$  نسبت به  $\text{Al}$  ماهیت آذرین نشان می‌دهند [۱۰].



شکل ۹ در نمودار توزیع  $\text{Al}$  و  $\text{Si}$  نمونه‌های کلینوپیروکسن‌های مورد بررسی در بالای خط اشباع جایگاه چاروجهی قرار می‌گیرند [۱۲].



شکل ۱۰ در نمودار  $\text{Fe}^{3+} = 0$  نسبت به  $\text{Na} + \text{Al}^{\text{IV}}$  ، قرارگیری نمونه‌ها در بالای خط  $\text{Al}^{\text{VI}} + 2\text{Ti} + \text{Cr}$  موید بالا بودن گریزندگی اکسیژن است [۱۲].



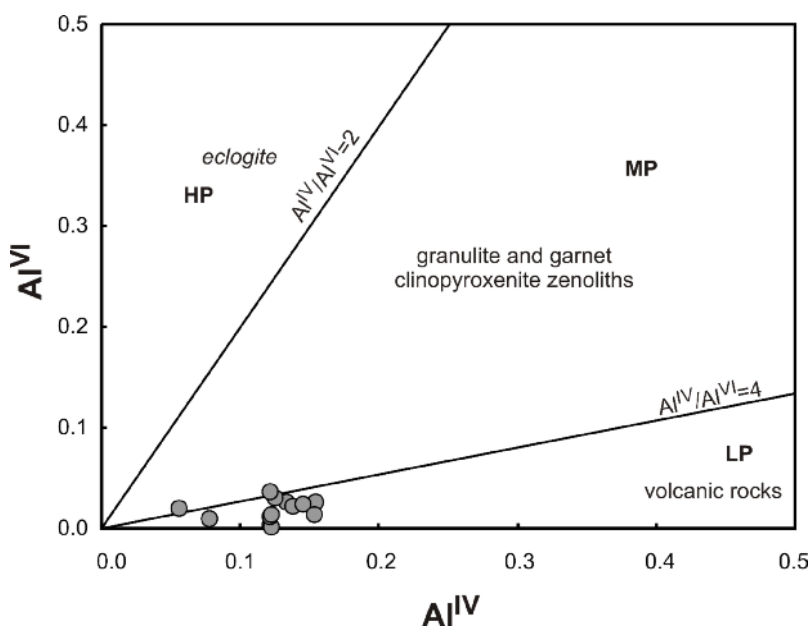
شکل ۱۱ در نمودار تغییرات  $\text{Al}^{\text{IV}} - \text{Ti}$  ، میزان پایین تیتانیم در کلینوپیروکسن‌ها بیانگر وجود کانی‌های تیتانیم‌دار در سنگ است [۱۳].

در نمودار  $\text{Ca} + \text{Ti}$  نسبت به  $\text{Cr} + \text{Al}^{\text{IV}}$  [۱۴] این کلینوپیروکسن‌ها محیط کششی را نشان می‌هند (شکل ۱۴)، در حالی که نمودار  $\text{Ca} + \text{Na}$  نسبت به  $\text{TiO}_2$  و نمودار  $\text{Al}_2\text{O}_3$  ماهیت تولیئتی – قلیایی [۱۷] را نشان می‌دهد (شکل ۱۵ و ۱۶). همچنین در نمودار سه‌تایی

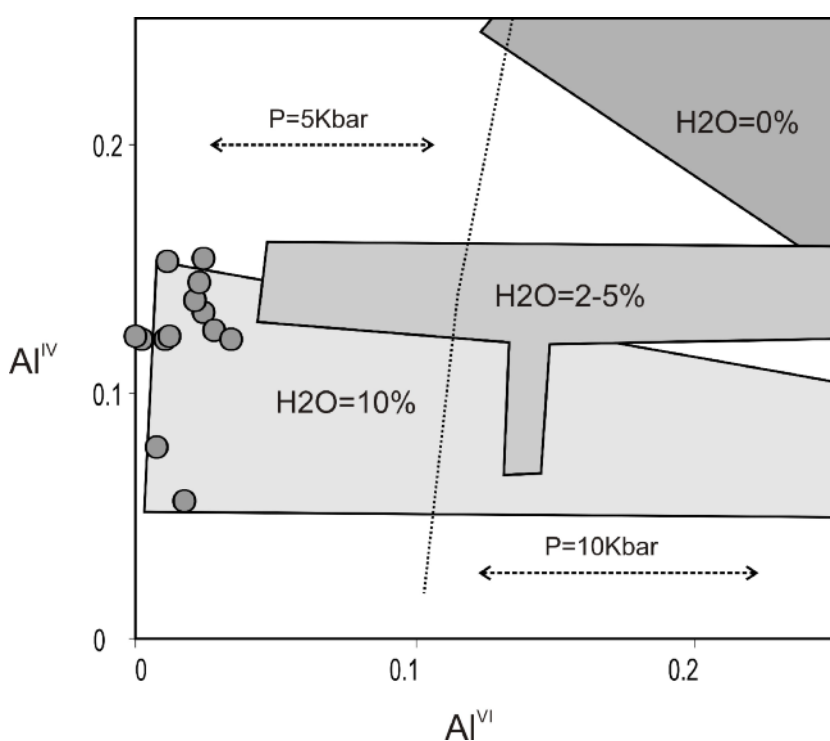
براساس نمودار توزیع آلومینیم در موقعیت چهاروجهی و هشت وجهی ( $\text{Al}^{\text{VI}}$  نسبت به  $\text{Al}^{\text{IV}}$ ) میزان آب ماقما هنگام تبلور متغیر و کمتر از ۱۰٪ بوده و فشار حاکم بر محیط تبلور کمتر از ۵ کیلوبار است و نشانگر یک محیط کم فشارند (شکل ۱۴ و ۱۵) [۱۴، ۱۳].

با توجه به نمودار دمای تبلور کلینوپیروکسن‌ها برای فشار ۵ کیلوبار که توسط [۲۰] ارایه شده است، ترکیب کلینوپیروکسن‌های گسترهای یک محدوده‌ای از ۶۵۰ تا ۸۰۰ درجه‌ی سانتیگراد را به نمایش می‌گذارند (شکل ۱۸).

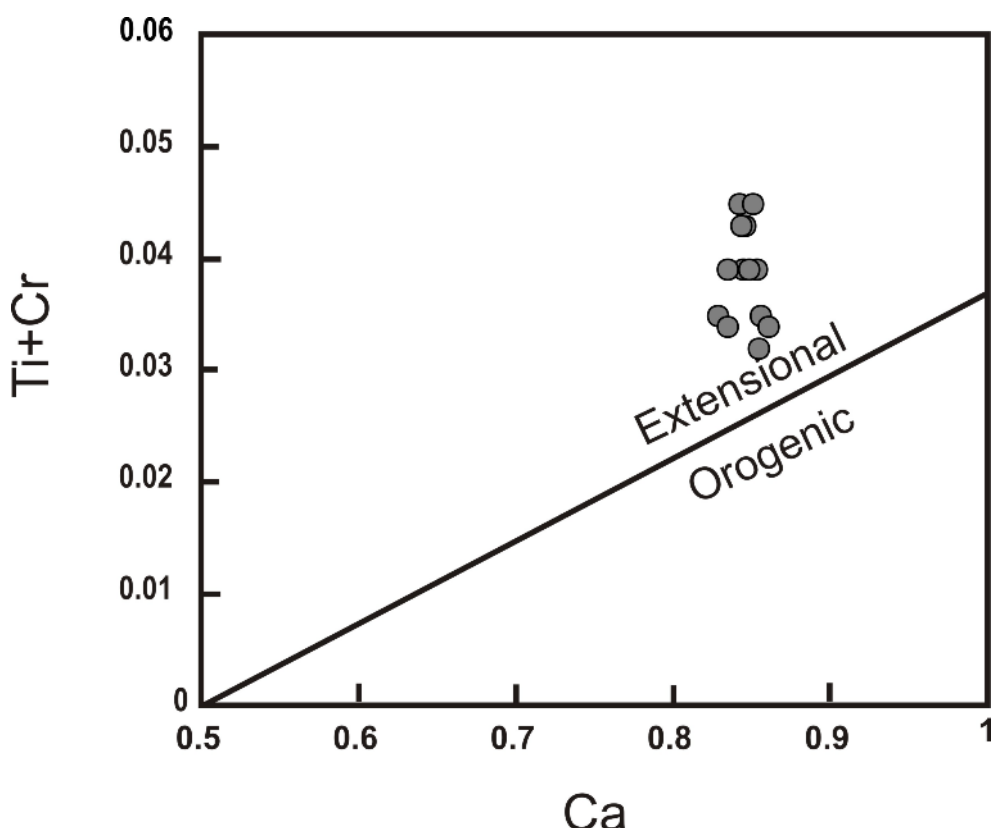
$\text{SiO}_2/100 - \text{TiO}_2 - \text{Na}_2\text{O}$  ماهیت ماقما مورب است (شکل ۱۷) [۱۸]. دلیل قرار گرفتن نمونه‌های مورد بررسی در گستره‌ی مورب این است که کافتهای درون قاره‌ای با پیشرفت و تولید آبگون پوسته‌ی اقیانوسی در نهایت مورب می‌شوند [۱۹].



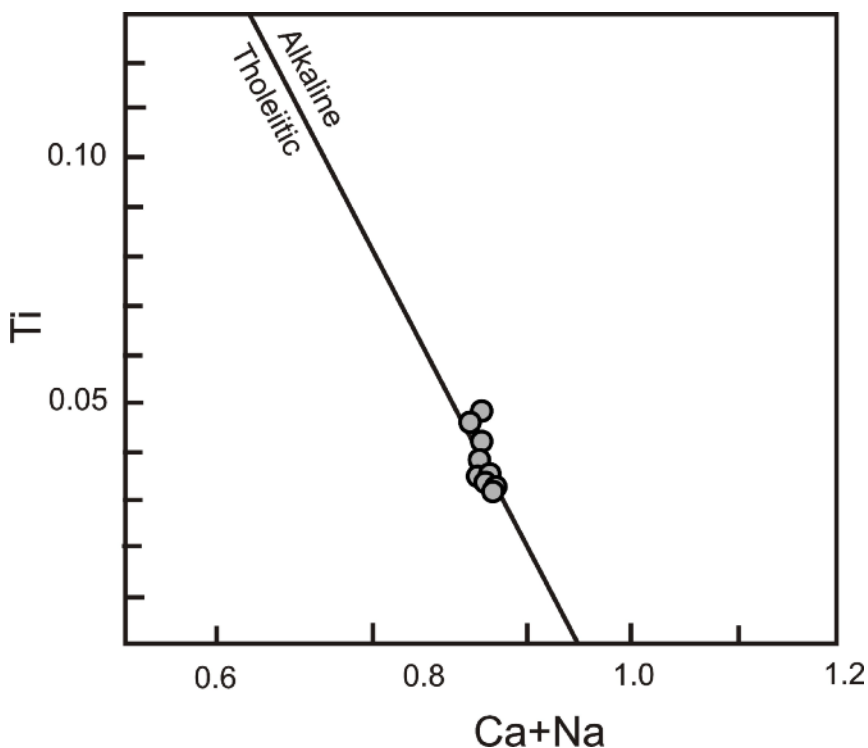
شکل ۱۲ نمودار توزیع آلومینیم در موقعیت چاروچهی و هشت وجهی نشان‌گر تبلور در یک محیط کم فشار می‌باشد [۱۶].



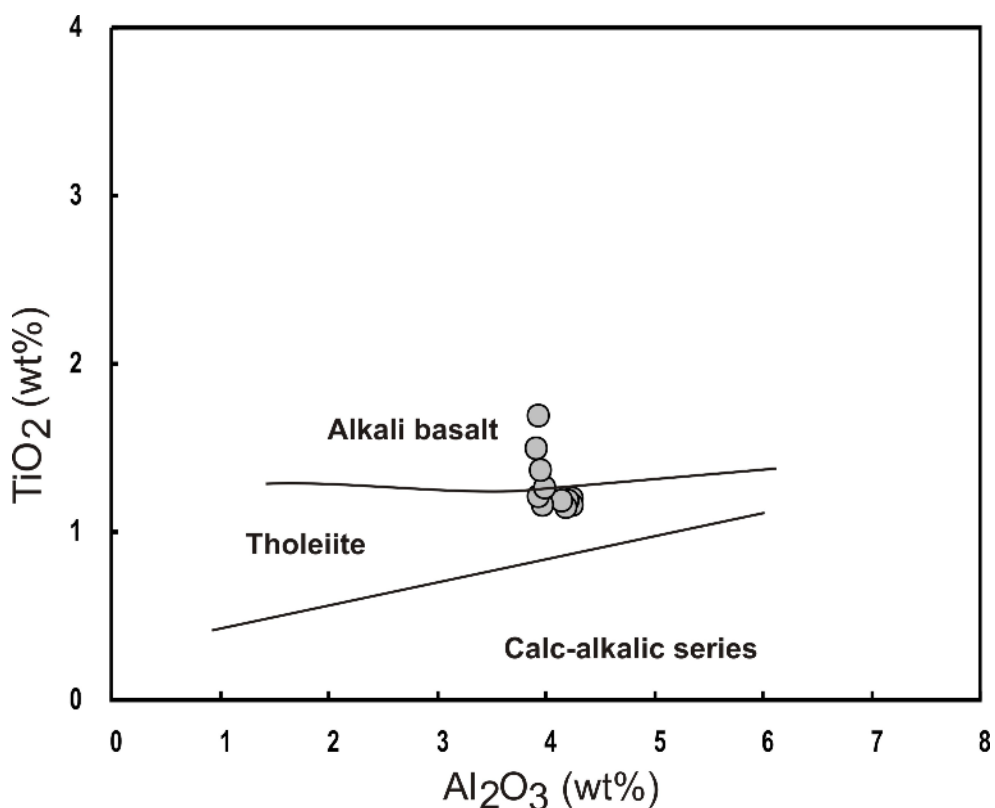
شکل ۱۳ نمودار توزیع آلومینیم در موقعیت چهاروچهی و هشت وجهی میزان آب ماقما هنگام تبلور حدود ۱۰٪ بوده و فشار حاکم بر محیط تبلور کمتر از ۵ کیلوبار است [۱۵].



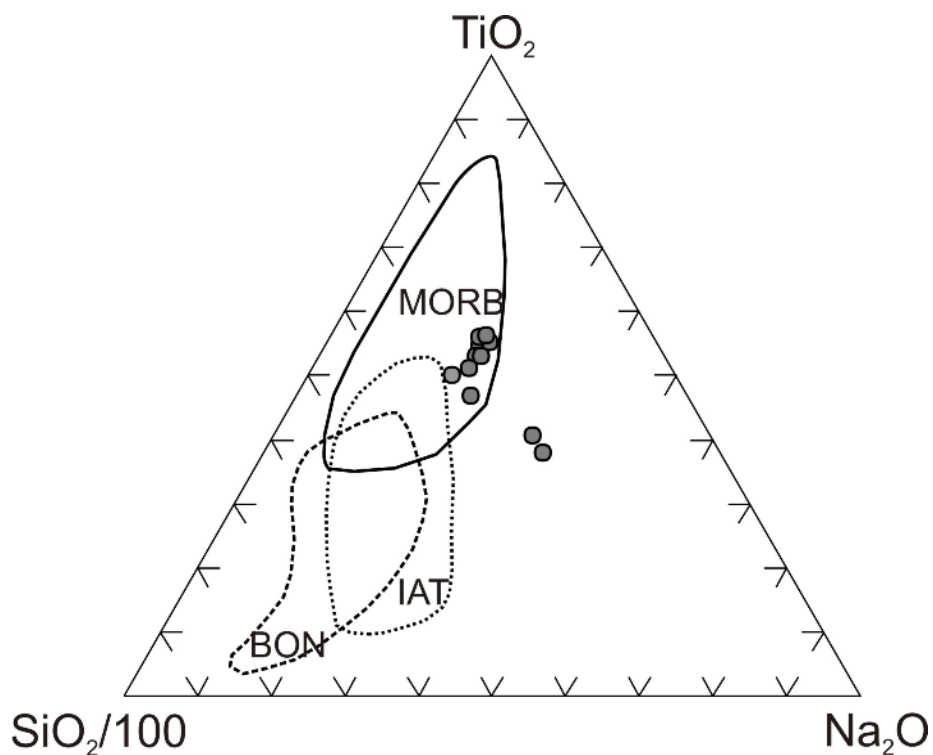
شکل ۱۴ در نمودار  $\text{Ca}$  نسبت به  $\text{Cr} + \text{Ti}$  این کلینوپیروکسن‌ها محیط کششی را نشان می‌هند [۱۴].



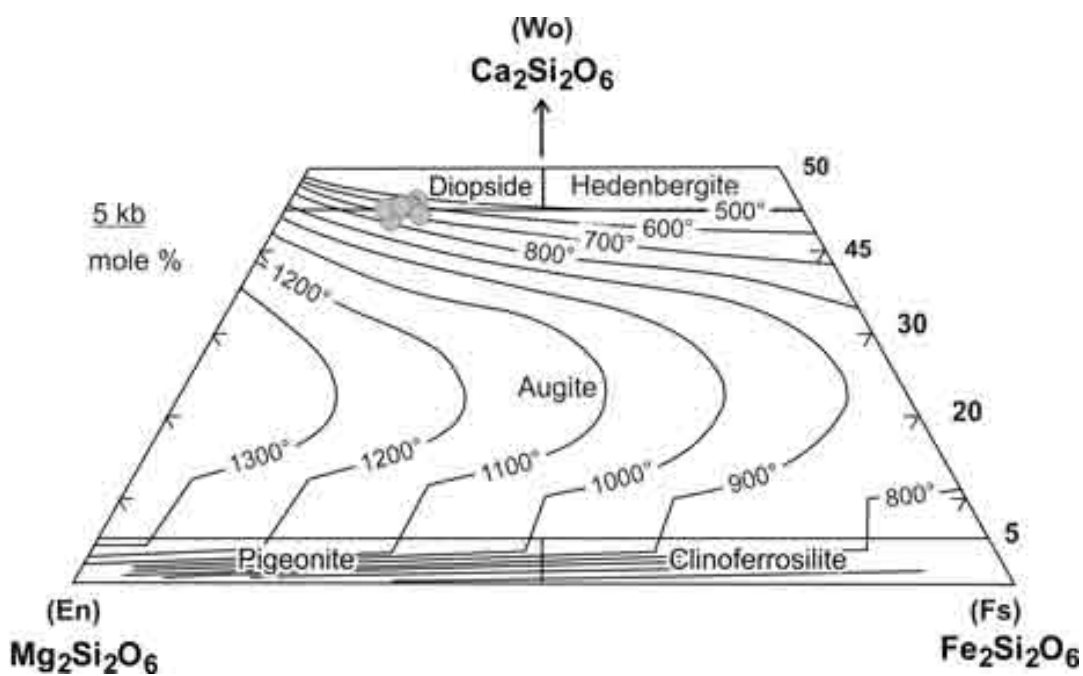
شکل ۱۵ کلینوپیروکسن‌ها در نمودار  $\text{Ca} + \text{Na}$  نسبت به  $\text{Ti}$  ماهیت تولیتی - قلیابی را نشان می‌دهد [۱۴].



شکل ۱۶ کلینوپیروکسن‌ها در نمودار  $\text{TiO}_2$ - $\text{Al}_2\text{O}_3$  نسبت به  $\text{Al}_2\text{O}_3$  ماهیت تولیئتی - قلیایی را نشان می‌دهد [۱۷].



شکل ۱۷ در نمودار سه‌تایی  $\text{SiO}_2/100$ - $\text{TiO}_2$ - $\text{Na}_2\text{O}$  ماهیت ماغما از نوع مورب است [۱۸].



شکل ۱۸ با توجه به نمودار دمای تبلور، کلینوپیروکسن‌ها برای فشار ۵ کیلوبار گسترهای ۶۵۰ تا ۸۰۰ درجه سانتیگراد را به نمایش می‌گذارند.  
[۲۰]

#### مراجع

- [۱] نجفی د، "گزارش پی جوئی گند نمکی کاج و رستم آباد، سازمان صنایع و معادن استان چهارمحال و بختیاری (۱۳۷۵) ۲۱۲ ص.
- [۲] اصفهانی ف، "پترولوژی سنگ‌های آذرین و دگرگونی گنددهای نمکی جنوب استان چهارمحال و بختیاری"، پایان نامه کارشناسی ارشد، دانشگاه اصفهان (۱۳۷۲) ۸۵ ص.
- [۳] تقی‌پور ص. و تقی‌پور ب، "کانی‌شناسی کانی‌های دگرنهادی در سنگ‌های آتش‌شناختی گنددهای نمکی در بلندهای زاگرس"، مجله بلور‌شناسی و کانی‌شناسی ایران، شماره ۴ (۱۳۸۸) ۵۳۵-۵۵۰ ص.
- [۴] Dachs E., "PET: 'Petrological elementary tools for mathematica: an update'", Computers and Geoscience 30(2004) 173-182.
- [۵] Droop G.T.R., "A general equation for estimating  $Fe^{+3}$  concentrations in ferromagnesian silicates and oxides from microprobe analyses, using stoichiometric criteria", Mineralogical Magazine 51(1987) 431-435.

#### برداشت

تفسیر داده‌های ترکیب کانی‌ای این کلینوپیروکسن‌های آذرین که در گستره‌ی کلینوپیروکسن‌های کلسیم-منیزیم-آهن‌دار قرار می‌گیرند و از نوع دیوپسید و اوژیت هستند، نشان می‌دهد که ماقمای سازنده این سنگ‌های گابرویی، غنی از تیتانیم بوده که حضور ایلمینیت و اسفن-لوکوکسن دال بر این ادعایت و مورب است. همچنین گریزندگی اکسیژن ماقما نسبتاً بالا بوده و میزان آب ماقما هنگام تبلور متغیر و کمتر از ۱۰٪، و فشار حاکم بر محیط تبلور کمتر از ۵ کیلوبار است.

ترکیب کلینوپیروکسن‌های مورد بررسی گسترهای از ۶۵۰ تا ۸۰۰ درجه‌ی سانتیگراد در فشارهای تا ۵ کیلوبار را نشان می‌دهد.

#### قدرتانی

از معاونت پژوهشی دانشگاه پیام نور شهرکرد به سبب حمایت مالی سپاسگزاری می‌شود. همچنین از آقای دکتر محمود خلیلی که ما را در کاوش الکترونی یاری کردند، کمال تشکر را داریم.

- [14] Letterrier J., Maury R. C., Thonon P., Girard D., Marchal M., "Clinopyroxene composition as a method of identification of the magmatic affinities of paleo-volcanic series", *Earth and Planetary Science Letters* 59 (1982) 139–54.
- [15] Helz R.T., "Phase relationships of basalts in their melting range at  $pH_2O = 5$  kb as a function of oxygen fugacity", *Journal of Petrology* 14 (1973) 249-302.
- [16] Aoki K., Shiba I., "Pyroxene from lherzolite inclusions of Itinomegata, Japan", *Lithos* 6 (1973) 41–51
- [17] Le Bas M. J., "The role of aluminium in igneous clinopyroxenes with relation to their parentage", *American Journal of Science*, 260 (1962) 267–88.
- [18] Beccaluva L., Macchiotta G., Piccardo G.B., Zeda O., "Clinopyroxene composition of ophiolite basalts as petrogenetic indicator", *Chemical Geology* 77 (1989) 165-182.
- [۱۹] تقی‌پور ص، خلیلی م، نقره‌ئیان م، تراوی ق، مکی‌زاده م.ع، تقی‌پور ب، "کانی‌شناسی و سنگ‌شناسی سنگ‌های ماقمایی سازند هرمز (گنبد‌های نمکی کاج و دوا آب)"، مجله بلورشناسی و کانی‌شناسی ایران، شماره ۳ (۱۳۸۷) ص ۳۸۸-۳۷۷
- [20] Lindsley I., "Pyroxene thermometry", *American Mineralogist* 68 (1983) 477-493.
- [6] Nisbet E.G., Pearce J.A., "Climopyroxene composition of mafic lavas from different tectonic settings", *Contributions to Mineralogy and Petrology* 63 (1977) 161-173.
- [7] Kushiro I., "Si-Al relation in clinopyroxenes from igneous rocks", *American Journal of Science* 258 (1960) 548-554.
- [8] Le Bas M.J., "The role of aluminium in igneous clinopyroxenes with relation to their parentage", *American Journal of Science* 260 (1962) 267-288.
- [9] Morimoto N., "The nomenclature of pyroxenes", *Mineralogical Magazine* 52 (1988) 535–550.
- [10] Berger J., Femenias O., Mercier J.C.C., Demaiffe D., "Ocean-floor hydrothermal metamorphism in the Limousin ophiolites (western French Massif Central): evidence of a rare preserved Variscan oceanic marker", *Journal of Metamorphic Geology* 23 (2005) 795–812.
- [11] Bence A.E., Papike J.J., Ayuso R.A., "Petrology of Atlantic island arcs", *Bulletin of Volcanology* 32 (1975) 189-206.
- [12] Schweitzer E.L., Papike J.J., Bence E., "Statistical analysis of clinopyroxenes from deep-sea basalts", *American Mineralogist* 64 (1979) 501-513.
- [۱۳] کعنایان ع، صلواتی م، اسماعیلی د، آسیابانها ع، "شیمی-کانی‌شناسی کلینوپیروکسن در سنگ‌های آذرین منطقه املش (شمال ایران)"، مجله علوم دانشگاه تهران، شماره ۲ (۱۳۸۳) ۲۴۵-۲۲۹